

Министерство образования и науки Российской Федерации
Федеральное государственное автономное образовательное учреждение
высшего образования
«Самарский национальный исследовательский университет
имени академика С.П. Королева»

Институт информатики и кибернетики

Кафедра технической кибернетики

Отчет по курсовой работе

Дисциплина: «Численные методы математической физики»

Тема: **«ЧИСЛЕННЫЕ МЕТОДЫ РЕШЕНИЯ КРАЕВЫХ ЗАДАЧ
МАТЕМАТИЧЕСКОЙ ФИЗИКИ»**

Вариант № 16

Выполнил студент:	Хорошев Д.Г.
Группа:	6408-010302D
Преподаватель:	Дегтярев А.А.

Исходные данные и задание к курсовой работе

Тема: Численные методы решения краевых задач математической физики.

Цель курсовой работы – получение практических навыков построения и исследования разностных схем для задач математической физики, разработки вычислительных алгоритмов и компьютерных программ для их решения.

Исходные данные – вариант работы №16, значения физических и геометрических параметров.

Задание к курсовой работе

1. Осуществить математическую постановку краевой задачи для физического процесса, описанного в предложенном варианте курсовой работы.
2. Осуществить построение разностной схемы, приближающей полученную краевую задачу. При этом следует согласовать с преподавателем тип разностной схемы.
3. Провести теоретическое исследование схемы: показать, что схема аппроксимирует исходную краевую задачу, и найти порядки аппроксимации относительно шагов дискретизации; исследовать устойчивость схемы и сходимость сеточного решения к решению исходной задачи математической физики.
4. Разработать алгоритм численного решения разностной краевой задачи.
5. Разработать компьютерную программу, реализующую созданный алгоритм, с интерфейсом, обеспечивающим следующие возможности: диалоговый режим ввода физических, геометрических и сеточных параметров задачи; графическую визуализацию численного решения задачи.

6. Используя разработанную программу и тестовый пример, согласованный с преподавателем, провести экспериментальное исследование фактической сходимости сеточного решения к точному (вычисленному с помощью ряда Фурье). Исследование сходимости необходимо провести в два этапа. На первом этапе следует убедиться в том, что при измельчении сетки графики разностного решения приближаются (вплоть до исчезновения визуальных различий) к соответствующим графикам точного решения. На втором этапе необходимо, проводя измельчение сетки, сравнить экспериментальную скорость убывания погрешности сеточного решения со скоростью, полученной при теоретическом исследовании схемы.
7. Оформить отчет о проделанной работе в соответствии с требованиями, изложенными в подразделе 3.2 настоящих методических указаний [1].

Условие задачи:

Вариант 16

На вход слабопоглощающего оптического элемента, представляющего собой цилиндрический фрагмент оптоволокна кругового сечения длиной l и радиусом R , подаётся лазерное излучение с распределением интенсивности $I_0(r)$. Ослабление (затухание) монохроматического лазерного пучка при его распределении в поглощающей среде описывается законом Бугера

$$I(z, r) = I_0(r) \exp(-\beta z),$$

где $I(z, r)$ – интенсивность излучения, прошедшего через слой вещества толщиной z ; β – коэффициент поглощения энергии излучения.

В результате поглощения части энергии излучения оптический элемент нагревается.

Оптический элемент выполнен из однородного материала, характеризуемого коэффициентом поглощения β , теплопроводности \tilde{k} , объёмной теплоёмкости c . Пучок света обладает круговой симметрией и

падает нормально на входную грань оптоволокна, причём оси пучка и оптического элемента совпадают.

Между поверхностями $r = R$, $z = 0$ и $z = l$ оптического элемента и окружающей средой имеет место теплообмен, описываемый законом Ньютона с коэффициентом теплообмена α .

В момент включения лазера $t = 0$ температура оптического элемента предполагается одинаковой во всех точках и равной температуре окружающей среды u_0 .

Разработать программу расчёта среднего по радиусу значения температуры оптического элемента на временном промежутке $0 < t \leq T$. Для проведения расчётов использовать следующие разностные схемы:

- простейшую явную конечно-разностную схему (Кусакина Д.С.);
- простейшую неявную конечно-разностную схему (Воротникова О.Г.);
- модифицированную неявную конечно-разностную схему (Хорошев Д.Г.).

При проведении расчётов использовать значения параметров $l, R, \beta, \tilde{k}, c, \alpha, T, u_0$ и выражение функции $I_0(r)$, указанные преподавателем.

Значения параметров, указанные преподавателем:

- $l = 4$;
- $T = 150$;
- $R = 3$;
- $u_0 = 0$;
- $\tilde{k} = 0,01$;
- $c = 1,65$;
- $\alpha = 0,005$;
- $\beta = 0,25$;
- $$I_0(x) = \begin{cases} 800, & \text{при } 0 \leq r \leq \frac{R}{5}; \\ 0, & \text{при } \frac{R}{5} < r \leq R. \end{cases}$$

РЕФЕРАТ

Отчет по курсовой работе: 30 с., 4 рисунка, 2 таблицы, 2 источника, 1 приложение.

УРАВНЕНИЯ МАТЕМАТИЧЕСКОЙ ФИЗИКИ, КРАЕВАЯ ЗАДАЧА, УРАВНЕНИЕ ТЕПЛОПРОВОДНОСТИ, МЕТОД КОНЕЧНЫХ РАЗНОСТЕЙ, МЕТОД ПРОГОНКИ, МОДИФИЦИРОВАННАЯ НЕЯВНАЯ СХЕМА, МЕТОДИЧЕСКАЯ ПОГРЕШНОСТЬ.

Целью курсовой работы является построение и исследование разностной схемы для решения краевой задачи, описывающей процесс нагревания оптического элемента, представляющего собой цилиндрический фрагмент оптоволокна кругового сечения (стержень).

Для решения задачи использованы простейшая неявная конечно-разностная схема и модифицированная неявная конечно-разностная схема. Проведено теоретическое исследование аппроксимации и устойчивости модифицированной неявной разностной схемы.

Разработана компьютерная программа, реализующая алгоритм скалярной прогонки и позволяющая рассчитывать решение сеточной задачи.

Приведены графические результаты численного решения задачи теплопроводности.

Программа написана на языке Python в среде разработки PyCharm.

СОДЕРЖАНИЕ

ВВЕДЕНИЕ	7
1 Математическая постановка задачи	8
2 Построение модифицированной неявной конечно-разностной схемы	10
3 Исследование аппроксимации модифицированной неявной разностной схемы	13
4 Исследование устойчивости модифицированной неявной разностной схемы	16
5 Решение модифицированной неявной разностной схемы	19
6 Алгоритм решения схемы	21
7 Результаты вычислительных экспериментов	22
7.1 Графическая демонстрация динамики теплового процесса	22
7.2 Графическое подтверждение сходимости разностного уравнения	23
7.3 Исследование зависимости погрешности от шагов дискретизации	25
ЗАКЛЮЧЕНИЕ	27
СПИСОК ИСПОЛЬЗОВАННЫХ ИСТОЧНИКОВ	28
ПРИЛОЖЕНИЕ А Программная реализация численного решения модифицированной неявной схемы	29

ВВЕДЕНИЕ

Характеризуя метод конечных разностей необходимо выделить его достоинства и недостатки в сравнении с другими методами.

К достоинствам метода конечных разностей следует отнести его высокую универсальность, например, значительно более высокую, чем у аналитических методов. Применение этого метода нередко характеризуется относительной простотой построения решающего алгоритма и его программной реализации. Зачастую удается осуществить распараллеливание решающего алгоритма.

К числу недостатков метода следует отнести: проблематичность его использования на нерегулярных сетках; очень быстрый рост количества вычислений при увеличении размерности задачи (увеличении числа неизвестных переменных); сложность аналитического исследования свойств разностной схемы.

Суть метода конечных разностей состоит в замене исходной (непрерывной) задачи математической физики ее дискретным аналогом (разностной схемой), а также последующим применением специальных алгоритмов решения дискретной задачи.

В настоящей работе метод конечных разностей применен для численного решения задачи теплопроводности. Вычислительный алгоритм основан на использовании модифицированной неявной конечно-разностной схемы. Проведено теоретическое исследование аппроксимации и устойчивости модифицированной неявной разностной схемы. Сделан вывод о сходимости сеточного решения. Разработана компьютерная программа, реализующая алгоритм скалярной прогонки. Приведены графические результаты численного решения задачи нагрева оптического элемента с помощью лазерного излучения.

1 Математическая постановка задачи

Общий вид уравнения теплопроводности:

$$c \cdot \frac{\partial u}{\partial t} = \tilde{k} \cdot \Delta u + I(z, r), \quad (1.1)$$

где $u(t, x, r)$ – температура в момент времени t .

Перейдем к цилиндрическим координатам.

$$c \cdot \frac{\partial u}{\partial t} = \tilde{k} \left(\frac{\partial^2 u}{\partial r^2} + \frac{1}{r} \cdot \frac{\partial u}{\partial r} + \frac{\partial^2 u}{\partial z^2} \right) + I_0(r) e^{-\beta \cdot z}. \quad (1.2)$$

Так как в момент включения лазера ($t = 0$) температура оптического элемента равна температуре окружающей среды (u_0) и одинакова во всех точках, то получим следующее начальное условие:

$$u|_{t=0} = u_0, \quad 0 \leq r \leq R, \quad 0 \leq z \leq l. \quad (1.3)$$

Учитывая, что по условию между поверхностями $r = R$, $z = 0$ и $z = l$ происходит теплообмен, описываемый законом Ньютона с коэффициентом α , получим систему краевых условий:

$$\begin{cases} \frac{\partial u}{\partial t} \Big|_{z=0} = \frac{\alpha}{\tilde{k}} (u - u_0) \Big|_{z=0}; \\ \frac{\partial u}{\partial z} \Big|_{z=l} = -\frac{\alpha}{\tilde{k}} (u - u_0) \Big|_{z=l}; \\ \frac{\partial u}{\partial r} \Big|_{r=R} = -\frac{\alpha}{\tilde{k}} (u - u_0) \Big|_{r=R}. \end{cases} \quad (1.4)$$

Тогда краевая задача представима в виде:

$$\begin{cases} c \cdot \frac{\partial u}{\partial t} = \tilde{k} \left(\frac{\partial^2 u}{\partial r^2} + \frac{1}{r} \cdot \frac{\partial u}{\partial r} + \frac{\partial^2 u}{\partial z^2} \right) + I_0(r) e^{-\beta \cdot z}; \\ u|_{t=0} = u_0; \\ \frac{\partial u}{\partial t} \Big|_{z=0} = \frac{\alpha}{\tilde{k}} (u - u_0) \Big|_{z=0}; \\ \frac{\partial u}{\partial z} \Big|_{z=l} = -\frac{\alpha}{\tilde{k}} (u - u_0) \Big|_{z=l}; \\ \frac{\partial u}{\partial r} \Big|_{r=R} = -\frac{\alpha}{\tilde{k}} (u - u_0) \Big|_{r=R}. \end{cases} \quad (1.5)$$

Далее, согласно условию, необходимо избавиться от переменной r . Для этого проведем интегральное усреднение:

$$\begin{aligned} \frac{1}{\pi R^2} \iint_{x^2+y^2 \leq R^2} u(z, x, y, t) dx dy &= \frac{1}{\pi R^2} \int_0^{2\pi} \int_0^R u(z, r, \varphi, t) r dr d\varphi = \\ &= \frac{2\pi}{\pi R^2} \int_0^R u(z, r, t) r dr = \frac{2}{R^2} \int_0^R u(z, r, t) r dr = v(z, t). \end{aligned}$$

Усредняя левую часть первого уравнения системы (1.5), получим:

$$\begin{aligned} \frac{2c}{R^2} \int_0^R u'_t r dr &= \left[\int_a^b f'_\alpha(x, \alpha) dx = \left(\int_a^b f(x, \alpha) dx \right)'_\alpha \right] = c \left(\frac{2}{R^2} \int_0^R u r dr \right)'_t = \\ &= c \cdot v'_t. \end{aligned}$$

Усредняя слагаемые правой части того же уравнения, получим:

$$\begin{aligned} \frac{2\tilde{k}}{R^2} \int_0^R u''_{zz} r dr &= \tilde{k} \left(\frac{2}{R^2} \int_0^R u r dr \right)''_{zz} = \tilde{k} \cdot v''_{zz}; \\ \frac{2\tilde{k}}{R^2} \int_0^R \left[\frac{\partial^2 u}{\partial r^2} + \frac{1}{r} \cdot \frac{\partial u}{\partial r} \right] \cdot r dr &= \frac{2\tilde{k}}{R^2} \int_0^R \frac{\partial}{\partial r} \left(r \cdot \frac{\partial u}{\partial r} \right) dr = \frac{2\tilde{k}}{R^2} (r u'_r) \Big|_0^R = \frac{2\tilde{k}}{R} u'_r \Big|_{r=R} = \\ &= [\text{из пятого условия (1.5)}] = -\frac{2\alpha}{R} (u - u_0) \Big|_{r=R} = -\frac{2\alpha}{R} (v - u_0). \end{aligned}$$

Усредняя второе уравнение системы (1.5) получим:

$$v(z, 0) = u_0.$$

Усредняя третье уравнение системы (1.5) получим:

$$v'_z(0, t) = \frac{\alpha}{\tilde{k}} (v(0, t) - u_0).$$

Усредняя четвертое уравнение системы (1.5) получим:

$$v'_z(l, t) = -\frac{\alpha}{\tilde{k}} (v(l, t) - u_0).$$

После усреднения получаем краевую задачу:

$$\left\{ \begin{array}{l} c \cdot v'_t = \tilde{k} \cdot v''_{zz} - \frac{2\alpha}{R}(v - u_0) + \frac{2e^{-\beta \cdot z}}{R^2} \int_0^R I_0(r)r dr, \\ 0 \leq z \leq l, \quad 0 < t \leq T; \\ v(z, 0) = u_0, \quad 0 \leq z \leq l; \\ v'_z(0, t) = \frac{\alpha}{\tilde{k}}(v(0, t) - u_0), \quad 0 < t \leq T; \\ v'_z(l, t) = -\frac{\alpha}{\tilde{k}}(v(l, t) - u_0), \quad 0 < t \leq T. \end{array} \right. \quad (1.6)$$

Пусть $v = w + u_0$, тогда задача относительно w примет вид:

$$\left\{ \begin{array}{l} c \cdot w'_t = \tilde{k} \cdot w''_{zz} - \frac{2\alpha}{R}(w) + \frac{2e^{-\beta \cdot z}}{R^2} \int_0^R I_0(r)r dr, \\ 0 \leq z \leq l, \quad 0 < t \leq T; \\ w(z, 0) = 0, \quad 0 \leq z \leq l; \\ w'_z(0, t) = \frac{\alpha}{\tilde{k}}w(0, t), \quad 0 < t \leq T; \\ w'_z(l, t) = -\frac{\alpha}{\tilde{k}}w(l, t), \quad 0 < t \leq T. \end{array} \right. \quad (1.7)$$

2 Построение модифицированной неявной конечно-разностной схемы

2.1 Построение простейшей неявной схемы

Для построения неявной схемы определим равномерную сетку как множество узлов (z_i, t_k)

$$\begin{aligned} z_i &= ih_z, & i &= \overline{0, I}, & h_z &= \frac{l}{I}, \\ t_k &= kh_t, & k &= \overline{0, K}, & h_t &= \frac{T}{K}, \end{aligned}$$

где h_z, h_t – шаги разбиения по z и t соответственно; K, I – число интервалов разбиения промежутка $0 < t \leq T$ и $0 \leq z \leq l$ соответственно.

Функции непрерывных аргументов заменим их сеточными аналогами.

Заменим производные системы (1.7) следующими разностными отношениями:

$$\begin{aligned}
\frac{\partial w(z_i, t_k)}{\partial t} &\approx \frac{w(z_i, t_{k+1}) - w(z_i, t_k)}{h_t}, \\
\frac{\partial^2 w(z_i, t_k)}{\partial z^2} &\approx \frac{w(z_{i+1}, t_k) - 2w(z_i, t_k) + w(z_{i-1}, t_k)}{h_z^2}, \\
\frac{\partial w(z_i, t_k)}{\partial z} &\approx \frac{w(z_{i+1}, t_k) - w(z_i, t_k)}{h_z}, \\
\frac{\partial w(z_i, t_k)}{\partial z} &\approx \frac{w(z_i, t_k) - w(z_{i-1}, t_k)}{h_z}.
\end{aligned}$$

В результате получаем простейшую неявную схему:

$$\left\{ \begin{aligned}
c \frac{w_i^k - w_i^{k-1}}{h_t} &= \tilde{k} \frac{w_{i+1}^k - 2w_i^k + w_{i-1}^k}{h_z^2} - \frac{2\alpha}{R} w_i^k + \frac{2e^{-\beta i h_z}}{R^2} \int_0^R I_0(r) r dr, \\
i &= \overline{1, I-1}, \quad k = \overline{1, K}; \\
w_i^0 &= 0, \quad i = \overline{0, I}; \\
\frac{w_1^k - w_0^k}{h_z} &= \frac{\alpha}{\tilde{k}} \cdot w_0^k, \quad k = \overline{1, K}; \\
\frac{w_I^k - w_{I-1}^k}{h_z} &= -\frac{\alpha}{\tilde{k}} \cdot w_I^k, \quad k = \overline{1, K}.
\end{aligned} \right. \quad (2.1)$$

2.2 Модификация простейшей неявной схемы

В качестве модификации простейшей неявной схемы повысим порядок аппроксимации граничных условий. Исследуем свойство аппроксимации четвертого уравнения системы (2.1), для чего запишем невязку

$$\begin{aligned}
\delta f_h|_{z_I, t_k} &= \{L_h[w]_h - f_h\}_{z_I, t_k} = \frac{w(z_I, t_k) - w(z_{I-1}, t_k)}{h_z} + \frac{\alpha}{\tilde{k}} w(z_I, t_k) = \\
&= \frac{w(z_I, t_k) - w(z_I, t_k) + \frac{\partial w(z_I, t_k)}{\partial z} h_z - \frac{\partial^2 w(z_I, t_k)}{\partial z^2} \cdot \frac{h_z^2}{2} + O(h_z^3)}{h_z} + \\
&+ \frac{\alpha}{\tilde{k}} w(z_I, t_k) = \frac{\partial w(z_I, t_k)}{\partial z} - \frac{\partial^2 w(z_I, t_k)}{\partial z^2} \cdot \frac{h_z}{2} + \frac{\alpha}{\tilde{k}} w(z_I, t_k) + O(h_z^2).
\end{aligned}$$

Если учесть четвертое равенство из (1.7), то получим:

$$\delta f_h|_{z_I, t_k} = -\frac{\partial^2 w(z_I, t_k)}{\partial z^2} \cdot \frac{h_z}{2} + O(h_z^2).$$

То есть сеточное соотношение обладает первым порядком аппроксимации относительно шага h_z .

Для повышения шага аппроксимации запишем сеточный аналог четвертого условия из системы (2.1) в следующем виде:

$$\frac{w_I^k - w_{I-1}^k}{h_z} = -\frac{\alpha}{\tilde{k}} \cdot w_I^k + P_I^k.$$

где P_I^k – неизвестная сеточная функция, которую будем искать, исходя из требования квадратичной аппроксимации.

Невязка может быть приведена к виду:

$$\delta f_h|_{z_I, t_k} = \left\{ -\frac{\partial^2 w(z_I, t_k)}{\partial z^2} \cdot \frac{h_z}{2} + O(h_z^2) \right\}_{z_I, t_k} - P_I^k.$$

Квадратичная аппроксимация будет обеспечена, если гарантировать выполнение условия

$$P_I^k = -\frac{\partial^2 w(z_I, t_k)}{\partial z^2} \cdot \frac{h_z}{2}. \quad (2.2)$$

Выразим вторую производную по z из первого уравнения (1.7):

$$c \cdot w_t' = \tilde{k} \cdot w_{zz}'' - \frac{2\alpha}{R}(w) + \frac{2e^{-\beta z}}{R^2} \int_0^R I_0(r)r dr.$$

Учтем ее в (2.2). В результате получим:

$$P_I^k = -\frac{h_z}{2} \left\{ \frac{c}{\tilde{k}} \cdot \frac{\partial w(z_I, t_k)}{\partial t} + \frac{2\alpha}{\tilde{k}R} w(z_I, t_k) - \frac{2e^{-\beta z_I}}{\tilde{k}R^2} \int_0^R I_0(r)r dr \right\}_{z_I, t_k}.$$

Производную заменим разностным соотношением:

$$P_I^k = -\frac{h_z}{2} \left(\frac{c}{\tilde{k}} \cdot \frac{w_I^k - w_I^{k-1}}{h_t} + \frac{2\alpha}{\tilde{k}R} w_I^k - \frac{2e^{-\beta I h_z}}{\tilde{k}R^2} \int_0^R I_0(r)r dr \right).$$

Тогда четвёртое условие системы (2.1) примет вид

$$\frac{w_I^k - w_{I-1}^k}{h_z} = -\frac{\alpha}{\tilde{k}} w_I^k - \frac{h_z}{2} \left(\frac{c}{\tilde{k}} \cdot \frac{w_I^k - w_I^{k-1}}{h_t} + \frac{2\alpha}{\tilde{k}R} w_I^k - \frac{2e^{-\beta I h_z}}{\tilde{k}R^2} \int_0^R I_0(r)r dr \right).$$

Аналогично для третьего условия системы (2.1) получим:

$$\frac{w_1^k - w_0^k}{h_z} = \frac{\alpha}{\tilde{k}} w_0^k + \frac{h_z}{2} \left(\frac{c}{\tilde{k}} \cdot \frac{w_0^k - w_0^{k-1}}{h_t} + \frac{2\alpha}{\tilde{k}R} w_0^k - \frac{2}{\tilde{k}R^2} \int_0^R I_0(r) r dr \right).$$

В итоге получаем неявную модифицированную конечно-разностную схему:

$$\left\{ \begin{array}{l} c \cdot \frac{w_i^k - w_i^{k-1}}{h_t} = \tilde{k} \cdot \frac{w_{i+1}^k - 2w_i^k + w_{i-1}^k}{h_z^2} - \frac{2\alpha}{R} w_i^k + \frac{2e^{-\beta i h_z}}{R^2} \int_0^R I_0(r) r dr, \\ i = \overline{1, I-1}, k = \overline{1, K}; \\ w_i^0 = 0, i = \overline{0, I}; \\ \frac{w_1^k - w_0^k}{h_z} = \frac{\alpha}{\tilde{k}} w_0^k + \frac{h_z}{2\tilde{k}} \left(c \frac{w_0^k - w_0^{k-1}}{h_t} + \frac{2\alpha}{R} w_0^k - \frac{2}{R^2} \int_0^R I_0(r) r dr \right), \\ k = \overline{1, K}; \\ \frac{w_I^k - w_{I-1}^k}{h_z} = -\frac{\alpha}{\tilde{k}} w_I^k - \frac{h_z}{2\tilde{k}} \left(c \frac{w_I^k - w_{I-1}^{k-1}}{h_t} + \frac{2\alpha}{R} w_I^k - \frac{2e^{-\beta I h_z}}{R^2} \int_0^R I_0(r) r dr \right), \\ k = \overline{1, K}. \end{array} \right. \quad (2.3)$$

3 Исследование аппроксимации модифицированной неявной разностной схемы

Невязка для схемы (2.3) будет иметь следующую структуру:

$$\delta \hat{f}_h = \begin{Bmatrix} \delta \hat{f}_h^1 \\ \delta \hat{f}_h^2 \\ \delta \hat{f}_h^3 \\ \delta \hat{f}_h^4 \end{Bmatrix} = \begin{Bmatrix} L_h^1[w]_h - f_h^1 \\ L_h^2[w]_h - f_h^2 \\ L_h^3[w]_h - f_h^3 \\ L_h^4[w]_h - f_h^4 \end{Bmatrix}. \quad (3.1)$$

$$(3.2)$$

$$(3.3)$$

$$(3.4)$$

Рассмотрим отдельно каждую компоненту невязки.

$$\{\delta \hat{f}_h^1\}_{z=z_i}^{t=t_k} = \{L_h^1[w]_h - f_h^1\}_{z=z_i}^{t=t_k} = \frac{c}{h_t} w(z_i, t_k) - \frac{c}{h_t} w(z_i, t_{k-1})$$

$$- \frac{\tilde{k}}{h_z^2} w(z_{i+1}, t_k) + \frac{2\tilde{k}}{h_z^2} w(z_i, t_k) - \frac{\tilde{k}}{h_z^2} w(z_{i-1}, t_k) + \frac{2\alpha}{R} w(z_i, t_k)$$

$$- \frac{2e^{-\beta i h_z}}{R^2} \int_0^R I_0(r) r dr + \frac{2\alpha}{R} w(z_i, t_k) - \frac{2e^{-\beta i h_z}}{R^2} \int_0^R I_0(r) r dr =$$

$$\frac{c}{h_t} w(z_i, t_k) - \left\{ \frac{c}{h_t} \left[w - w'_t h_t + w''_{tt} \frac{h_t^2}{2} - w'''_{t^3} \frac{h_t^3}{6} + w''''_{t^4} \frac{h_t^4}{24} + O(h_t^5) \right] \right\}_{z=z_i}^{t=t_k}$$

$$- \left\{ \frac{\tilde{k}}{h_z^2} \left[w + w'_z h_z + w''_{zz} \frac{h_z^2}{2} + w'''_{z^3} \frac{h_z^3}{6} + w''''_{z^4} \frac{h_z^4}{24} + O(h_z^5) \right] \right\}_{z=z_i}^{t=t_k} +$$

$$\frac{2\tilde{k}}{h_z^2} w(z_i, t_k) - \left\{ \frac{\tilde{k}}{h_z^2} \left[w - w'_z h_z + w''_{zz} \frac{h_z^2}{2} - w'''_{z^3} \frac{h_z^3}{6} + w''''_{z^4} \frac{h_z^4}{24} + O(h_z^5) \right] \right\}_{z=z_i}^{t=t_k}$$

$$\begin{aligned}
& + \frac{2\alpha}{R} w(z_i, t_k) - \frac{2e^{-\beta i h_z}}{R^2} \int_0^R I_0(r) r dr = \left\{ c w'_t - c w''_{tt} \frac{h_t}{2} + c w'''_{t^3} \frac{h_t^2}{6} - \right. \\
& c w''''_{t^4} \frac{h_t^3}{24} + O(h_t^4) - \frac{2\tilde{k}}{h_z^2} w - \tilde{k} w''_{zz} - \tilde{k} w'''_{z^4} \frac{h_z^2}{12} + O(h_z^3) + \frac{2\tilde{k}}{h_z^2} w + \frac{2\alpha}{R} w - \\
& \left. \frac{2e^{-\beta i h_z}}{R^2} \int_0^R I_0(r) r dr \right\}_{z=z_i}^{t=t_k} = [\text{Из первого уравнения системы (1.7)}] = \left\{ c w'_t - \right. \\
& - c w''_{tt} \frac{h_t}{2} + c w'''_{t^3} \frac{h_t^2}{6} - c w''''_{t^4} \frac{h_t^3}{24} + O(h_t^4) - \tilde{k} w''_{zz} - \tilde{k} w'''_{z^4} \frac{h_z^2}{12} + O(h_z^3) + \tilde{k} w''_{zz} - \\
& \left. c w'_t \right\}_{z=z_i}^{t=t_k} = -c w''_{tt} \frac{h_t}{2} + O(h_t^2) - \tilde{k} w'''_{z^4} \frac{h_z^2}{12} + O(h_z^3) = O(h_z^2, h_t).
\end{aligned}$$

Перейдём ко второй компоненте невязки:

$$\begin{aligned}
& \{\delta \hat{f}_h^2\}_{z=z_i}^{t=t_0} = \{L_h^2[w]_h - f_h^2\}_{z=z_i}^{t=t_0} = w(z_i, 0) - 0 = \\
& = [\text{Из второго уравнения системы (1.7)}] = 0.
\end{aligned}$$

Модификация простейшей неявной разностной схемы заключалась в повышении порядка аппроксимации краевых условий. Проверим, повысился ли порядок.

Для третьей компоненты невязки получим:

$$\begin{aligned}
& \{\delta \hat{f}_h^3\}_{z=z_0}^{t=t_k} = \{L_h^3[w]_h - f_h^3\}_{z=z_0}^{t=t_k} = \frac{1}{h_z} w(z_1, t_k) - \frac{1}{h_z} w(z_0, t_k) - \\
& - \frac{\alpha}{\tilde{k}} w(z_0, t_k) - \frac{c h_z}{2\tilde{k} h_t} w(z_0, t_k) + \frac{c h_z}{2\tilde{k} h_t} w(z_0, t_{k-1}) - \frac{\alpha h_z}{\tilde{k} R} w(z_0, t_k) + \\
& + \frac{h_z}{\tilde{k} R^2} \int_0^R I_0(r) r dr = \left\{ \frac{1}{h_z} \left[w + w'_z h_z + w''_{zz} \frac{h_z^2}{2} + w'''_{zzz} \frac{h_z^3}{6} + O(h_z^4) - w \right] \right\}_{z=z_0}^{t=t_k} - \\
& - \frac{\alpha}{\tilde{k}} w(z_0, t_k) - \frac{c h_z}{2\tilde{k} h_t} w(z_0, t_k) + \left\{ \frac{c h_z}{2\tilde{k} h_t} \left(w - w'_t h_t + w''_{tt} \frac{h_t^2}{2} - w'''_{ttt} \frac{h_t^3}{6} + \right. \right. \\
& \left. \left. + O(h_t^4) \right) \right\}_{z=z_0}^{t=t_k} - \frac{\alpha h_z}{\tilde{k} R} w(z_0, t_k) + \frac{h_z}{\tilde{k} R^2} \int_0^R I_0(r) r dr = \\
& = [\text{Из первого и третьего уравнения системы (1.7)}] = \\
& = \left\{ w'_z + w''_{zz} \frac{h_z}{2} + w'''_{zzz} \frac{h_z^2}{6} + O(h_z^3) - w'_z - \frac{c h_z}{2\tilde{k}} w'_t + \frac{c h_z h_t}{4\tilde{k}} w''_{tt} - \frac{c h_z h_t^2}{12\tilde{k}} w'''_{ttt} + O(h_t^3) \right. \\
& + \frac{c h_z}{2\tilde{k}} w'_t - w''_{zz} \frac{h_z}{2} \left. \right\}_{z=z_l}^{t=t_k} = \left\{ w'''_{zzz} \frac{h_z^2}{6} + O(h_z^3) + \frac{c h_z h_t}{4\tilde{k}} w''_{tt} - \frac{c h_z h_t^2}{12\tilde{k}} w'''_{ttt} + \right. \\
& \left. + O(h_t^3) \right\}_{z=z_l}^{t=t_k} = O(h_z^2, h_t^2, h_z h_t).
\end{aligned}$$

Для четвертой компоненты невязки получим:

$$\begin{aligned}
& \{\delta \hat{f}_h^4\}_{z=z_l}^{t=t_k} = \{L_h^4[w]_h - f_h^4\}_{z=z_l}^{t=t_k} = \frac{1}{h_z} w(z_l, t_k) - \frac{1}{h_z} w(z_{l-1}, t_k) + \\
& + \frac{\alpha}{\tilde{k}} w(z_l, t_k) + \frac{ch_z}{2\tilde{k}h_t} w(z_l, t_k) - \frac{ch_z}{2\tilde{k}h_t} w(z_l, t_{k-1}) + \frac{\alpha h_z}{\tilde{k}R} w(z_l, t_k) - \\
& - \frac{h_z e^{-\beta l h_z}}{\tilde{k}R^2} \int_0^R I_0(r) r dr = \left\{ \frac{1}{h_z} \left[w - w + w'_z h_z - w''_{zz} \frac{h_z^2}{2} + w'''_{zzz} \frac{h_z^3}{6} + O(h_z^4) \right] \right\}_{z=z_l}^{t=t_k} + \\
& + \frac{\alpha}{\tilde{k}} w(z_l, t_k) + \frac{ch_z}{2\tilde{k}h_t} w(z_l, t_k) + \frac{\alpha h_z}{\tilde{k}R} w(z_l, t_k) - \frac{h_z e^{-\beta l h_z}}{\tilde{k}R^2} \int_0^R I_0(r) r dr - \\
& - \left\{ \frac{ch_z}{2\tilde{k}h_t} \left(w - w'_t h_t + w''_{tt} \frac{h_t^2}{2} - w'''_{ttt} \frac{h_t^3}{6} + O(h_t^4) \right) \right\}_{z=z_l}^{t=t_k} = \\
& \text{[Из первого и четвёртого уравнения системы (1.7)]} = \\
& = \left\{ w'_z - w''_{zz} \frac{h_z}{2} + w'''_{zzz} \frac{h_z^2}{6} + O(h_z^3) - w'_z + \frac{ch_z}{2\tilde{k}} w'_t - \frac{ch_z h_t}{4\tilde{k}} w''_{tt} + \frac{ch_z h_t^2}{12\tilde{k}} w'''_{ttt} + O(h_t^3) \right. \\
& - \left. \frac{ch_z}{2\tilde{k}} w'_t + w''_{zz} \frac{h_z}{2} \right\}_{z=z_l}^{t=t_k} = \left\{ w'''_{zzz} \frac{h_z^2}{6} + O(h_z^3) - \frac{ch_z h_t}{4\tilde{k}} w''_{tt} + \frac{ch_z h_t^2}{12\tilde{k}} w'''_{ttt} + \right. \\
& + \left. O(h_t^3) \right\}_{z=z_l}^{t=t_k} = O(h_z^2, h_t^2, h_z h_t).
\end{aligned}$$

В итоге получили:

$$\delta \hat{f}_h = \begin{pmatrix} \delta \hat{f}_h^1 \\ \delta \hat{f}_h^2 \\ \delta \hat{f}_h^3 \\ \delta \hat{f}_h^4 \end{pmatrix} = \begin{pmatrix} O(h_z^2, h_t) \\ 0 \\ O(h_z^2, h_t^2, h_z h_t) \\ O(h_z^2, h_t^2, h_z h_t) \end{pmatrix}.$$

Определим норму в пространстве F_h как:

$$\|f_h\|_{F_h} = \max_{i=1, \overline{I-1}} |\{f_h^1\}_{z_i}^{t_k}| + \max_{i=0, \overline{I}} |\{f_h^2\}_{z_i}^{t_0}| + \max_{k=1, \overline{K}} |\{f_h^3\}_{z_0}^{t_k}| + \max_{k=1, \overline{K}} |\{f_h^4\}_{z_l}^{t_k}| \quad (3.5)$$

Тогда погрешность аппроксимации модифицированной неявной схемы в соответствии с формулой (3.5) будет иметь вид:

$$\|\delta \hat{f}_h\|_{F_h} = O(h_z^2, h_t) + 0 + O(h_z^2, h_t^2, h_z h_t) + O(h_z^2, h_t^2, h_z h_t) = O(h_z^2, h_t).$$

Таким образом, модифицированная неявная разностная схема (2.3) аппроксимирует краевую задачу (1.7) с первым порядком относительно шага h_t и со вторым порядком относительно шага h_z .

4 Исследование устойчивости модифицированной неявной разностной схемы

Проведем исследование устойчивости модифицированной неявной разностной схемы. Для этого запишем систему (2.3) относительно возмущений:

$$\left\{ \begin{array}{l} c \cdot \frac{(w_i^k - w_i^{k-1})}{h_t} - \tilde{k} \cdot \frac{w_{i+1}^k - 2w_i^k + w_{i-1}^k}{h_z^2} + \frac{2\alpha}{R} w_i^k = \varphi_i^k, \quad i = \overline{1, I-1}, \quad k = \overline{1, K}; \\ w_i^0 = \psi_i, \quad i = \overline{0, I}; \\ \frac{w_1^k - w_0^k}{h_z} = \frac{\alpha}{\tilde{k}} w_0^k + \frac{ch_z}{2\tilde{k}h_t} (w_0^k - w_0^{k-1}) + \frac{\alpha h_z}{\tilde{k}R} w_0^k - \frac{h_z}{2\tilde{k}} \varphi_0^k, \quad k = \overline{1, K}; \\ \frac{w_I^k - w_{I-1}^k}{h_z} = -\frac{\alpha}{\tilde{k}} w_I^k - \frac{ch_z}{2\tilde{k}h_t} (w_I^k - w_I^{k-1}) - \frac{\alpha h_z}{\tilde{k}R} w_I^k + \frac{h_z}{2\tilde{k}} \varphi_I^k, \quad k = \overline{1, K}. \end{array} \right. \quad (4.1)$$

По определению линейная разностная схема называется устойчивой, если существуют такие числа $C > 0, h_0 > 0$, что для любых сеток мелкостью $h < h_0$ и для любых возмущений $f_h \in F_h$ выполняются условия:

- 1) решение существует и единственно;
- 2) справедливо неравенство:

$$\|w_h\|_{U_h} \leq C \|f_h\|_{F_h}. \quad (4.2)$$

Неявная схема представляет собой систему линейных уравнений с трёхдиагональной матрицей. Решение этой системы существует и единственно при произвольных правых частях и может быть получено прогонкой. Следовательно, для доказательства устойчивости неявной схемы осталось убедиться в справедливости неравенства $\|w_h\|_{U_h} \leq C \|f_h\|_{F_h}$.

Определим нормы в пространствах U_h и F_h следующим образом:

$$\begin{aligned} \|w_h\|_{U_h} &= \max_{\substack{i=\overline{0, I} \\ k=\overline{1, K}}} |w_i^k|, \\ \|f_h\|_{F_h} &= \max_{\substack{i=\overline{0, I} \\ k=\overline{1, K}}} |\varphi_i^k| + \max_{i=\overline{0, I}} |\psi_i|. \end{aligned}$$

Перепишем первое уравнение системы (4.1) в следующем виде, сделав замену $\gamma = \frac{h_t \tilde{k}}{ch_z^2}$:

$$w_i^k - w_i^{k-1} = \gamma(w_{i+1}^k - 2w_i^k + w_{i-1}^k) - \frac{2\alpha h_t}{cR} w_i^k + \frac{h_t}{c} \varphi_i^k, i = \overline{1, I-1},$$

$$k = \overline{1, K};$$

$$\left(1 + 2\gamma + \frac{2\alpha h_t}{cR}\right) w_i^k = w_i^{k-1} + \gamma w_{i+1}^k + \gamma w_{i-1}^k + \frac{h_t}{c} \varphi_i^k,$$

$$i = \overline{1, I-1}, \quad k = \overline{1, K}.$$

После применения неравенства треугольника будем иметь:

$$\left(1 + 2\gamma + \frac{2\alpha h_t}{cR}\right) |w_i^k| \leq |w_i^{k-1}| + \gamma |w_{i+1}^k| + \gamma |w_{i-1}^k| + \frac{h_t}{c} |\varphi_i^k|,$$

$$i = \overline{1, I-1}, \quad k = \overline{1, K}.$$

Воспользуемся следующими оценками:

$$|w_i^k| \leq \max_{j=\overline{0, I}} |w_j^k|, \quad i = \overline{1, I-1}, \quad k = \overline{0, K}; \quad (4.3)$$

$$|\varphi_i^k| \leq \|f_h\|_{F_h}, \quad i = \overline{0, I}, \quad k = \overline{1, K}. \quad (4.4)$$

В результате получим неравенство:

$$\left(1 + 2\gamma + \frac{2\alpha h_t}{cR}\right) |w_i^k| \leq \max_{j=\overline{0, I}} |w_j^{k-1}| + 2\gamma \max_{j=\overline{0, I}} |w_j^k| + \frac{h_t}{c} \|f_h\|_{F_h},$$

$$i = \overline{1, I-1}, \quad k = \overline{1, K}.$$

Так как правая часть не зависит от индекса i , то в левой части можно записать максимальное значение по i :

$$\left(1 + 2\gamma + \frac{2\alpha h_t}{cR}\right) \max_{i=\overline{1, I-1}} |w_i^k| \leq \max_{j=\overline{0, I}} |w_j^{k-1}| + 2\gamma \max_{j=\overline{0, I}} |w_j^k| + \frac{h_t}{c} \|f_h\|_{F_h}, \quad (4.5)$$

$$k = \overline{1, K}.$$

Рассмотрим узел $i = 0$. Для этого обратимся к третьему уравнению системы (4.1), умножив всё уравнение на h_z :

$$w_1^k - w_0^k = \frac{\alpha h_z}{\tilde{k}} w_0^k + \frac{ch_z^2}{2\tilde{k}h_t} (w_0^k - w_0^{k-1}) + \frac{\alpha h_z^2}{\tilde{k}R} w_0^k - \frac{h_z^2}{2\tilde{k}} \varphi_0^k, \quad k = \overline{1, K};$$

$$\left(1 + \frac{\alpha h_z}{\tilde{k}} + \frac{ch_z^2}{2\tilde{k}h_t} + \frac{\alpha h_z^2}{\tilde{k}R}\right) w_0^k = w_1^k + \frac{ch_z^2}{2\tilde{k}h_t} w_0^{k-1} + \frac{h_z^2}{2\tilde{k}} \varphi_0^k, \quad k = \overline{1, K}.$$

После применения неравенства треугольника будем иметь:

$$\left(1 + \frac{\alpha h_z}{\tilde{k}} + \frac{ch_z^2}{2\tilde{k}h_t} + \frac{\alpha h_z^2}{\tilde{k}R}\right) |w_0^k| \leq |w_1^k| + \frac{ch_z^2}{2\tilde{k}h_t} |w_0^{k-1}| + \frac{h_z^2}{2\tilde{k}} |\varphi_0^k|, \quad k = \overline{1, K}.$$

Так как $\gamma = \frac{h_t \tilde{k}}{ch_z^2} > 0$, умножим обе части неравенства на 2γ :

$$\left(1 + 2\gamma + \frac{2\alpha h_t}{cR} + \frac{2\alpha h_t}{ch_z}\right) |w_0^k| \leq 2\gamma |w_1^k| + |w_0^{k-1}| + \frac{h_t}{c} |\varphi_0^k|, \quad k = \overline{1, K}.$$

Из оценок (4.3) и (4.4) получим:

$$\left(1 + 2\gamma + \frac{2\alpha h_t}{cR} + \frac{2\alpha h_t}{ch_z}\right) |w_0^k| \leq \max_{j=0, I} |w_j^{k-1}| + 2\gamma \max_{j=0, I} |w_j^k| + \frac{h_t}{c} \|f_h\|_{F_h}, \quad (4.6)$$

$$k = \overline{1, K}.$$

Аналогично для узла $i = I$ из четвёртого уравнения системы (4.1) получим:

$$\left(1 + 2\gamma + \frac{2\alpha h_t}{cR} + \frac{2\alpha h_t}{ch_z}\right) |w_I^k| \leq \max_{j=0, I} |w_j^{k-1}| + 2\gamma \max_{j=0, I} |w_j^k| + \frac{h_t}{c} \|f_h\|_{F_h}, \quad (4.7)$$

$$k = \overline{1, K}.$$

Проанализировав результаты неравенств (4.6) и (4.7) получим, что неравенство (4.5) также верно для узлов $i = 0$ и $i = I$:

$$\left(1 + 2\gamma + \frac{2\alpha h_t}{cR}\right) \max_{i=0, I} |w_i^k| \leq \max_{j=0, I} |w_j^{k-1}| + 2\gamma \max_{j=0, I} |w_j^k| + \frac{h_t}{c} \|f_h\|_{F_h}, \quad k = \overline{1, K};$$

$$\left(1 + \frac{2\alpha h_t}{cR}\right) \max_{i=0, I} |w_i^k| \leq \max_{j=0, I} |w_j^{k-1}| + \frac{h_t}{c} \|f_h\|_{F_h}, \quad k = \overline{1, K}.$$

Так как $\frac{2\alpha h_t}{cR} \geq 0$, то справедливо неравенство:

$$\max_{i=0, I} |w_i^k| \leq \left(1 + \frac{2\alpha h_t}{cR}\right) \max_{i=0, I} |w_i^k|, \quad k = \overline{1, K}.$$

Объединим два последних неравенства, получим:

$$\max_{i=0, I} |w_i^k| \leq \max_{j=0, I} |w_j^{k-1}| + \frac{h_t}{c} \|f_h\|_{F_h}, \quad k = \overline{1, K}. \quad (4.8)$$

Запишем неравенство (4.8) при $k = 1$ и учтём начальное условие из системы (4.1). В результате имеем:

$$\max_{i=0, I} |w_i^1| \leq \max_{j=0, I} |w_j^0| + \frac{h_t}{c} \|f_h\|_{F_h}.$$

Так как $|\psi_i^0| \leq \|f_h\|_{F_h}$, $i = \overline{0, I}$, получим:

$$\max_{i=0, I} |w_i^1| \leq \left(1 + \frac{h_t}{c}\right) \|f_h\|_{F_h}.$$

При $k = 2$:

$$\max_{i=0,l} |w_i^2| \leq \max_{j=0,l} |w_j^1| + \frac{h_t}{c} \|f_h\|_{F_h} \leq \left(1 + \frac{h_t}{c}\right) \|f_h\|_{F_h} + \frac{h_t}{c} \|f_h\|_{F_h};$$

$$\max_{i=0,l} |w_i^2| \leq \left(1 + 2 \frac{h_t}{c}\right) \|f_h\|_{F_h}.$$

При $k = 3$:

$$\max_{i=0,l} |w_i^3| \leq \max_{j=0,l} |w_j^2| + \frac{h_t}{c} \|f_h\|_{F_h} \leq \left(1 + 3 \frac{h_t}{c}\right) \|f_h\|_{F_h}.$$

...

При $k = K$:

$$\max_{i=0,l} |w_i^K| \leq \left(1 + K \frac{h_t}{c}\right) \|f_h\|_{F_h}.$$

Таким образом получаем:

$$\|w_h\|_{U_h} \leq \left(1 + K \frac{h_t}{c}\right) \|f_h\|_{F_h} = \left(1 + \frac{T}{c}\right) \|f_h\|_{F_h}.$$

Так как $1 + \frac{T}{c}$ является константой, которая не зависит от шагов дискретизации, то неравенство (4.2) выполняется, оба условия устойчивости соблюдены. А это значит, что модифицированная неявная разностная схема (2.3) абсолютно устойчива по определению.

5 Решение модифицированной неявной разностной схемы

Для реализации решения схемы нужно выполнить прогонку. Рассмотрим первое уравнение системы (2.3):

$$w_i^k - w_i^{k-1} = \frac{\tilde{k} h_t}{c h_z^2} (w_{i+1}^k - 2 w_i^k + w_{i-1}^k) - \frac{2 \alpha h_t}{c R} w_i^k + \frac{2 h_t e^{-\beta i h_z}}{c R^2} \int_0^R I_0(r) r dr.$$

Введем замену:

$$\frac{\tilde{k} h_t}{c h_z^2} = \gamma, \quad \frac{2 \alpha h_t}{c R} = \mu, \quad \frac{2 h_t}{c R^2} \int_0^R I_0(r) r dr = \theta.$$

Тогда уравнение примет вид:

$$w_i^k - w_i^{k-1} = \gamma w_{i+1}^k - 2 \gamma w_i^k + \gamma w_{i-1}^k - \mu w_i^k + \theta e^{-\beta i h_z};$$

$$w_i^{k-1} = -\gamma w_{i+1}^k + (1 + 2\gamma + \mu)w_i^k - \gamma w_{i-1}^k - \theta e^{-\beta i h_z}, \quad (5.1)$$

$$i = \overline{1, I-1}, \quad k = \overline{1, K}.$$

Для реализации решения предположим, что выполняется следующее соотношение:

$$w_i^k = p_i w_{i+1}^k + q_i^k, \quad i = \overline{1, I-1}, \quad k = \overline{1, K}. \quad (5.2)$$

Воспользуемся соотношением (5.2) в уравнении (5.1), получим:

$$w_i^{k-1} = -\gamma w_{i+1}^k + (1 + 2\gamma + \mu)(p_i w_{i+1}^k + q_i^k) - \gamma(p_{i-1}(p_i w_{i+1}^k + q_i^k) + q_{i-1}^k) - \theta e^{-\beta i h_z}.$$

Раскроем скобки и приведем подобные слагаемые:

$$w_i^{k-1} = -\gamma w_{i+1}^k + p_i w_{i+1}^k + q_i^k + 2\gamma p_i w_{i+1}^k + 2\gamma q_i^k + \mu p_i w_{i+1}^k + \mu q_i^k - \gamma p_{i-1} p_i w_{i+1}^k - \gamma p_{i-1} q_i^k - \gamma q_{i-1}^k - \theta e^{-\beta i h_z};$$

$$w_i^{k-1} = (-\gamma + p_i + 2\gamma p_i + \mu p_i - \gamma p_{i-1} p_i) w_{i+1}^k + \left((1 + 2\gamma + \mu - \gamma p_{i-1}) q_i^k - \gamma q_{i-1}^k \right) - \theta e^{-\beta i h_z}.$$

Данное соотношение будет выполняться только в том случае, если

$$\begin{cases} (1 + 2\gamma + \mu - \gamma p_{i-1}) p_i = \gamma; \\ (1 + 2\gamma + \mu - \gamma p_{i-1}) q_i^k = w_i^{k-1} + \gamma q_{i-1}^k + \theta e^{-\beta i h_z}. \end{cases}$$

Таким образом мы получили формулы для вычисления прогоночных коэффициентов:

$$\begin{cases} p_i = \frac{\gamma}{1 + 2\gamma + \mu - \gamma p_{i-1}}, & i = \overline{1, I-1}; \\ q_i^k = \frac{w_i^{k-1} + \gamma q_{i-1}^k + \theta e^{-\beta i h_z}}{1 + 2\gamma + \mu - \gamma p_{i-1}}, & i = \overline{1, I-1}, \quad k = \overline{1, K}. \end{cases} \quad (5.3)$$

Перепишем третье уравнение системы (2.3) в виде:

$$w_1^k - w_0^k = \frac{\alpha h_z}{\tilde{k}} w_0^k + \frac{c h_z^2}{2 \tilde{k} h_t} (w_0^k - w_0^{k-1}) + \frac{\alpha h_z^2}{\tilde{k} R} w_0^k - \frac{h_z^2}{\tilde{k} R^2} \int_0^R I_0(r) r dr.$$

Введем замену:

$$\rho = \frac{c h_z^2}{2 \tilde{k} h_t}, \quad \sigma = \frac{\alpha h_z^2}{\tilde{k} R}, \quad \tau = \frac{h_z^2}{\tilde{k} R^2} \int_0^R I_0(r) r dr, \quad \vartheta = \frac{\alpha h_z}{\tilde{k}}.$$

Тогда уравнение примет вид:

$$w_1^k - w_0^k = \vartheta w_0^k + \rho(w_0^k - w_0^{k-1}) + \sigma w_0^k - \tau;$$

$$\rho w_0^{k-1} = -w_1^k + (1 + \vartheta + \rho + \sigma)w_0^k - \tau.$$

Подставим в w_0^k соотношение (5.2), получим:

$$\rho w_0^{k-1} = (-1 + p_0(1 + \vartheta + \rho + \sigma))w_1^k + q_0^k(1 + \vartheta + \rho + \sigma) - \tau.$$

Данное соотношение будет выполняться только в том случае, если:

$$\begin{cases} -1 + p_0(1 + \vartheta + \rho + \sigma) = 0; \\ q_0^k(1 + \vartheta + \rho + \sigma) - \tau = \rho w_0^{k-1}. \end{cases}$$

Выделим из данной системы p_0 и q_0^k :

$$\begin{cases} p_0 = \frac{1}{1 + \vartheta + \rho + \sigma}; \\ q_0^k = \frac{\rho w_0^{k-1} + \tau}{1 + \vartheta + \rho + \sigma}, \quad k = \overline{1, K}. \end{cases} \quad (5.4)$$

Теперь найдем формулу для вычисления правого краевого узла w_I^k .

Перепишем четвертое уравнение системы (2.3) в виде:

$$w_I^k - w_{I-1}^k = -\frac{\alpha h_z}{\tilde{k}} w_I^k - \frac{c h_z^2}{2\tilde{k} h_t} (w_I^k - w_I^{k-1}) + \frac{\alpha h_z^2}{\tilde{k} R} w_I^k - \frac{h_t^2 e^{-\beta I h_z}}{\tilde{k} R^2} \int_0^R I_0(r) r dr.$$

Видоизменим уравнение, воспользовавшись прошлой заменой:

$$w_I^k - w_{I-1}^k = -\vartheta w_I^k - \rho(w_I^k - w_I^{k-1}) + \sigma w_I^k - \tau e^{-\beta I h_z};$$

$$(1 + \vartheta + \rho - \sigma)w_I^k = w_{I-1}^k + \rho w_I^{k-1} - \tau e^{-\beta I h_z}.$$

Выделим отсюда w_I^k :

$$w_I^k = \frac{w_{I-1}^k + \rho w_I^{k-1} - \tau e^{-\beta I h_z}}{1 + \vartheta + \rho - \sigma}, \quad k = \overline{1, K}. \quad (5.5)$$

6 Алгоритм решения схемы

Алгоритм состоит из следующих шагов:

- 1) заполнить начальный временной слой (при $k = 0$), используя начальное условие из схемы (2.3);
- 2) по формулам из системы (5.4) рассчитать начальные прогоночные коэффициенты p_0 и q_0^k ($k = \overline{1, K}$);

- 3) по первой формуле из системы (5.3) рассчитать оставшиеся прогоночные коэффициенты p_i ($i = \overline{1, I-1}$), так как для каждого временного слоя они одинаковы;
- 4) для реализации метода прогонки на каждом временном слое (при $k = \overline{1, K}$) рассчитать правый крайевой узел w_I^k по формуле (5.5) и прогоночные коэффициенты q_i^k ($i = \overline{1, I-1}$). Далее по формуле (5.2) находим все остальные узлы.

7 Результаты вычислительных экспериментов

7.1 Графическая демонстрация динамики теплового процесса

Для решения разностной схемы была написана программа на языке Python, представленная в приложениях ...

На рисунке 7.1 представлен график зависимости температуры от точки на стержне в различные моменты времени t , расчет производился на сетке $I = 50, K = 200$.

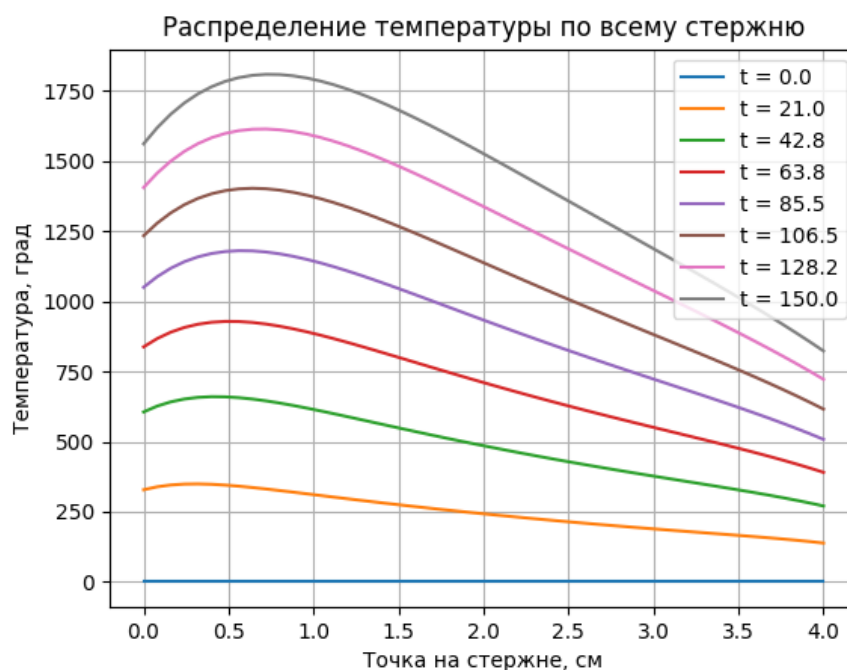


Рисунок 7.1 – График зависимости температуры от точки на стержне в различные моменты времени

На рисунке 7.2 представлен график зависимости температуры от времени в различных точках стержня.

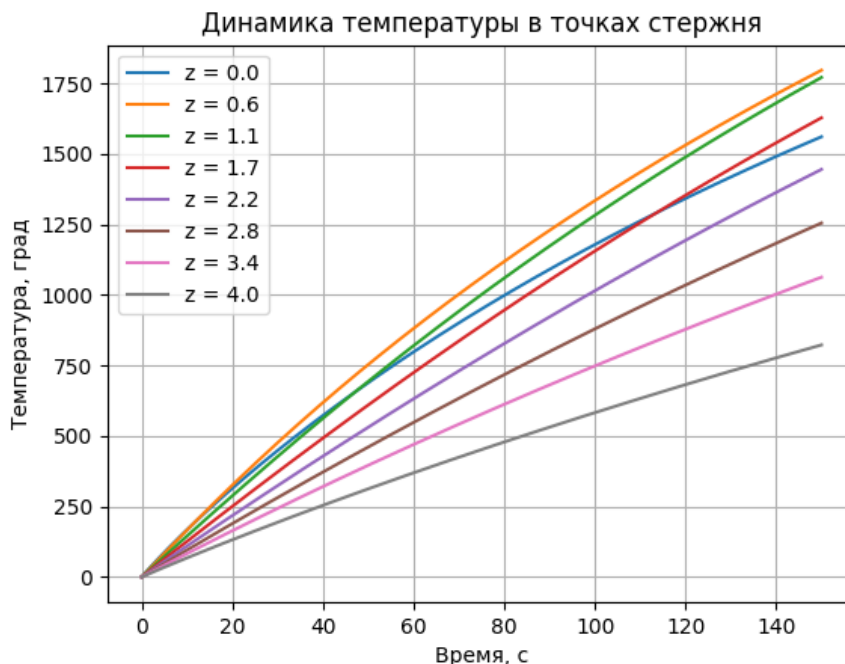


Рисунок 7.2 – График зависимости температуры от времени в различных точках стержня

Анализируя графики, можно сделать вывод о том, что с течением времени мы наблюдаем процесс нагревания.

7.2 Графическое подтверждение сходимости разностного уравнения

На рисунках 7.3 и 7.4 приведены графики, подтверждающие сходимость разностного уравнения решения дискретной задачи (2.3) на сгущающихся сетках.

Для этого необходимо зафиксировать значение времени и пространства. Для данного эксперимента зафиксировано $t = 150$, $z = 0,6$. Рисунки 7.3 и 7.4 содержат графическое подтверждение сходимости на сгущающихся сетках. На графиках видно, что решение на грубой сетке (синий график, $I = 8, K = 5$) сильно отличается от решения на мелкой сетке (коричневый график, $I = 256, K = 5120$). С последующим измельчением сетки различие между графиками становится почти незаметным.

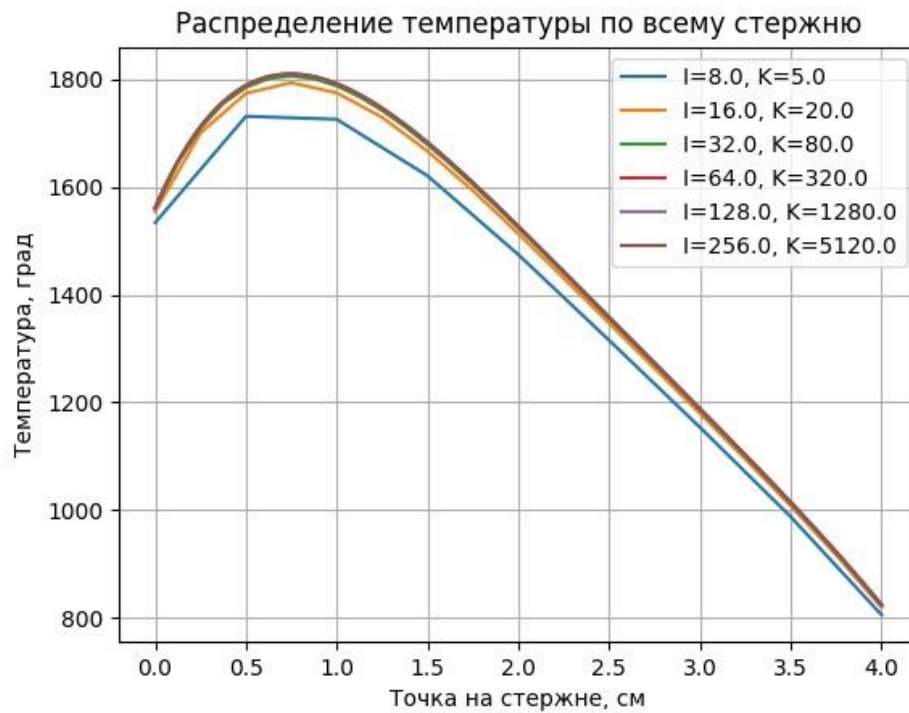


Рисунок 7.3 – График, демонстрирующий сходимость решения в фиксированный момент времени $t = 150$

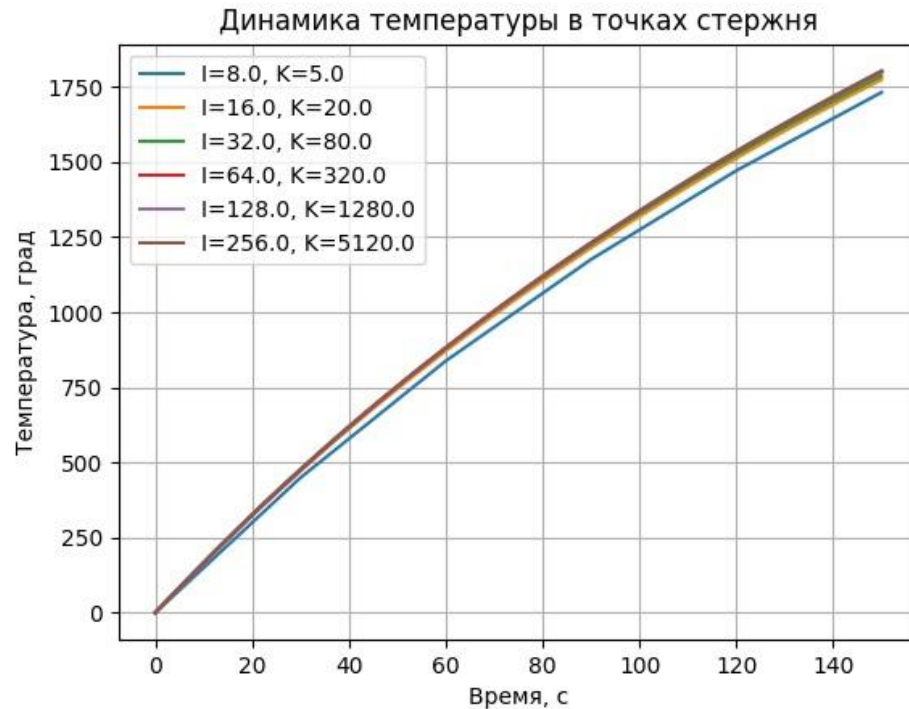


Рисунок 7.4 – График, демонстрирующий сходимость решения в фиксированной пространственной координате $z = 0,6$

7.3 Исследование зависимости погрешности от шагов

дискретизации

В результате исследования разностной схемы установлено, что она аппроксимирует задачу с погрешностью $O(h_z^2, h_t)$ и является абсолютно устойчивой. Следовательно, на основании теоремы о сходимости эта схема сходится и погрешность разностного решения имеет вид $O(h_z^2, h_t)$. Тогда для погрешности в узлах сетки можно записать:

$$\{\varepsilon_{h_z h_t}\}_{z_i, t_k} = \{w_{h_z h_t} - [w]_{h_z h_t}\}_{z_i, t_k} = ah_t + bh_z^2 + O(h_z^3, h_t^2).$$

Тогда

$$\{w_{h_z h_t}\}_{z_i, t_k} = \{[w]_{h_z h_t}\}_{z_i, t_k} + ah_t + bh_z^2 + O(h_z^3, h_t^2). \quad (7.5)$$

Рассмотрим сетку с шагами $h_t/4$ и $h_z/2$. Для такой сетки можно записать:

$$\left\{w_{\frac{h_z}{2}, \frac{h_t}{4}}\right\}_{z_i, t_k} = \{[w]_{h_z h_t}\}_{z_i, t_k} + \frac{ah_t}{4} + b\frac{h_z}{4} + O_1(h_z^3, h_t^2). \quad (7.6)$$

Из (7.5) и (7.6) получим:

$$\left\{\Delta_{\frac{h_z}{2}, \frac{h_t}{4}}\right\}_{z_i, t_k} = \left\{w_{h_z h_t} - w_{\frac{h_z}{2}, \frac{h_t}{4}}\right\}_{z_i, t_k} = \frac{3a}{4}h_t + \frac{3b}{4}h_z^2 + O_2(h_z^3, h_t^2). \quad (7.7)$$

Проведем ещё большее измельчение сетки:

$$\left\{\Delta_{\frac{h_z}{4}, \frac{h_t}{16}}\right\}_{z_i, t_k} = \left\{w_{\frac{h_z}{2}, \frac{h_t}{4}} - w_{\frac{h_z}{4}, \frac{h_t}{16}}\right\}_{z_i, t_k} = \frac{3a}{16}h_t + \frac{3b}{16}h_z^2 + O_3(h_z^3, h_t^2). \quad (7.8)$$

Из (7.7) и (7.8) вытекает, что

$$\delta = \frac{\left\{\Delta_{\frac{h_z}{2}, \frac{h_t}{4}}\right\}_{z_i, t_k}}{\left\{\Delta_{\frac{h_z}{4}, \frac{h_t}{16}}\right\}_{z_i, t_k}} \approx 4.$$

Будем измельчать сетку как показано выше и представим полученные данные в таблицах 1 и 2.

Исходя из полученных результатов можно сделать вывод, что при измельчении сетки отношение δ становится близким к 4. Видим, что на

тестовом примере результаты вычислительных экспериментов хорошо согласуются с результатами теоретического исследования сходимости модифицированной неявной схемы для различных равномерных сеток.

Таблица 1 – Результаты вычислительного эксперимента ($t = 150, z = 4$)

K	I	$\Delta_{\frac{h_z}{2}, \frac{h_t}{4}}$	$\Delta_{\frac{h_z}{4}, \frac{h_t}{16}}$	δ
5	8	13,9373855637	3,4870115337	3,9969427772
20	16	3,4870115337	0,8698069727	4,0089487014
80	32	0,8698069727	0,2172776949	4,0032041628
320	64	0,2172776949	0,0543076135	4,0008698746
1280	128	0,0543076135	0,0135761484	4,0002224398
5120	256	0,0135761484	0,0033939985	4,0000454833

Таблица 2 – Результаты вычислительного эксперимента ($t = 150, z = 2$)

K	I	$\Delta_{\frac{h_z}{2}, \frac{h_t}{4}}$	$\Delta_{\frac{h_z}{4}, \frac{h_t}{16}}$	δ
5	8	38,9823912969	10,3167706397	3,7785458898
20	16	10,3167706397	2,6196282518	3,9382575113
80	32	2,6196282518	0,6575197265	3,9841059455
320	64	0,6575197265	0,1645445975	3,9959970524
1280	128	0,1645445975	0,0411464593	3,9989977290
5120	256	0,0411464593	0,0102872763	3,9997428136

ЗАКЛЮЧЕНИЕ

В результате выполнения работы осуществлена постановка краевой задачи для уравнения теплопроводности в стержне. Для численного решения краевой задачи построены две схемы: простейшая неявная и модифицированная неявная схема.

Проведено теоретическое исследование модифицированной неявной схемы, в результате которого установлено, что модифицированная неявная схема аппроксимирует исходную краевую задачу со вторым порядком относительно шага h_z и первым относительно шага h_t . Также в результате исследования установлено, что модифицированная неявная схема является абсолютно устойчивой.

Для получения графиков найденных результатов была написана программа на языке Python. Выяснилось, что при измельчении сетки

Также в результате серии вычислительных экспериментов было установлено, что погрешность разностного решения, вычисляемого с помощью модифицированной неявной схемы, убывает с измельчением сетки.

СПИСОК ИСПОЛЬЗОВАННЫХ ИСТОЧНИКОВ

1 Дягтерев, А.А. Численные методы решения краевых задач математической физики [Текст]: методические указания / А.А. Дягтерев. – Самара: Изд-во Самар. ун-та, 2021. – 61 с.

2 Дягтерев, А.А. Метод конечных разностей [Текст]: учебное пособие / А.А. Дягтерев. – Самар. ун-т.; Самара, 2022. – 129 с.

ПРИЛОЖЕНИЕ А

Программная реализация численного решения модифицированной неявной схемы

```
import math
import numpy as np

from chmmf.parameters import (INTEGRAL)

np.seterr(all='raise')

INTEGRAL = 144 # that is the definite integral from 0 to R of  $[I_0(r)r]dr$ 

def calculate_implicit_modified_scheme(K, I, l, T, k, c, alpha, beta, R,
progress=None):
    h_z = l / I
    h_t = T / K

    # константы для основного уравнения
    gamma = k * h_t / (c * (h_z ** 2))
    mu = 2 * alpha * h_t / (c * R)
    nu = 2 * h_t * INTEGRAL / (c * (R ** 2))

    # константы для краевых условий
    var_theta = alpha * h_z / k
    rho = c * (h_z ** 2) / (2 * k * h_t)
    sigma = alpha * (h_z ** 2) / (k * R)
    tau = (h_z ** 2) * INTEGRAL / (k * (R ** 2))

    p_i = np.zeros(I)
    q_i_n = np.zeros((K + 1, I))
    w_i_n = np.zeros((K + 1, I + 1))

    # p_0 got from left bound condition
    p_i[0] = 1 / (1 + var_theta + rho + sigma)
    # calculating p_i coefficients, that the same for each n
    for i in range(1, I):
        p_i[i] = gamma / (1 + mu + gamma * (2 - p_i[i - 1]))

    try:
        for n in range(1, K + 1):
            if progress:
                progress.value = n

            # q_0_n got from left bound condition
            q_i_n[n][0] = (rho * w_i_n[n - 1][0] + tau) / (1 + var_theta +
rho + sigma)
            for i in range(1, I):
                numerator = w_i_n[n - 1][i] + gamma * q_i_n[n][i - 1] + nu *
np.exp(-beta * i * h_z)
                denominator = 1 + mu + gamma * (2 - p_i[i - 1])
                q_i_n[n][i] = numerator / denominator

            # start calculate w_i_n from point i = I
            w_I_n_numerator = rho * w_i_n[n - 1][I] + q_i_n[n][I - 1] + tau *
np.exp(-beta * I * h_z)
            w_I_n_denominator = 1 + var_theta + rho + sigma - p_i[I - 1]
            w_i_n[n][I] = w_I_n_numerator / w_I_n_denominator
```

```

        for i in range(I - 1, -1, -1):
            w_i_n[n][i] = p_i[i] * w_i_n[n][i + 1] + q_i_n[n][i]

except IndexError as index_error:
    print(index_error)
    exit(-1)
if progress:
    progress.value = 0
return w_i_n

```